

**Низкочастотный
Тиристор
Тип Т393-2500-52**

Высокая стойкость к
электротермоциклированию
Низкие статические и динамические потери
Разработан для промышленного применения

| | | | | | |
|--|-----------|---------------|------|------|--|
| Средний прямой ток | I_{TAV} | 2500 А | | | |
| Повторяющееся импульсное напряжение в закрытом состоянии | U_{DRM} | 4600 ÷ 5200 В | | | |
| Повторяющееся импульсное обратное напряжение | U_{RRM} | | | | |
| Время выключения | t_q | 800 мкс | | | |
| $U_{DRM}, U_{RRM}, В$ | 4600 | 4800 | 5000 | 5200 | |
| Класс по напряжению | 46 | 48 | 50 | 52 | |
| $T_j, °C$ | -60 ÷ 125 | | | | |

ПРЕДЕЛЬНО ДОПУСТИМЫЕ ЗНАЧЕНИЯ ПАРАМЕТРОВ

| Обозначение и наименование параметра | | Ед. изм. | Значение | Условия измерения | |
|---|--------------------------------------|-------------------|----------------|--|--|
| Параметры в проводящем состоянии | | | | | |
| I_{TAV} | Средний ток в открытом состоянии | А | 2500 3600 | $T_c=94 °C$; двухстороннее охлаждение; $T_c=70 °C$; двухстороннее охлаждение; 180 эл. град. синус; 50 Гц | |
| I_{TRMS} | Действующий ток в открытом состоянии | А | 3925 | $T_c=94 °C$; двухстороннее охлаждение; 180 эл. град. синус; 50 Гц | |
| I_{TSM} | Ударный ток в открытом состоянии | кА | 55.0 63.0 | $T_j=T_{jmax}$ $T_j=25 °C$ | 180 эл. град. синус; 50 Гц ($t_p=10$ мс); единичный импульс; $U_D=U_R=0$ В; Импульс управления: $I_G=2$ А; $t_{GP}=50$ мкс; $di_G/dt \geq 1$ А/мкс |
| | | | 58.0 67.0 | $T_j=T_{jmax}$ $T_j=25 °C$ | 180 эл. град. синус; 60 Гц ($t_p=8.3$ мс); единичный импульс; $U_D=U_R=0$ В; Импульс управления: $I_G=2$ А; $t_{GP}=50$ мкс; $di_G/dt \geq 1$ А/мкс |
| I^2t | Защитный фактор | $A^2c \cdot 10^3$ | 15125 19845 | $T_j=T_{jmax}$ $T_j=25 °C$ | 180 эл. град. синус; 50 Гц ($t_p=10$ мс); единичный импульс; $U_D=U_R=0$ В; Импульс управления: $I_G=2$ А; $t_{GP}=50$ мкс; $di_G/dt \geq 1$ А/мкс |
| | | | 13960 18625 | $T_j=T_{jmax}$ $T_j=25 °C$ | 180 эл. град. синус; 60 Гц ($t_p=8.3$ мс); единичный импульс; $U_D=U_R=0$ В; Импульс управления: $I_G=2$ А; $t_{GP}=50$ мкс; $di_G/dt \geq 1$ А/мкс |

| Блокирующие параметры | | | | |
|-------------------------------|---|------------------|--|--|
| U_{DRM}, U_{RRM} | Повторяющееся импульсное обратное напряжение и повторяющееся импульсное напряжение в закрытом состоянии | В | 4600÷5200 | $T_{j\ min} < T_j < T_{j\ max};$ 180 эл. град. синус; 50 Гц; управление разомкнуто |
| U_{DSM}, U_{RSM} | Неповторяющееся импульсное обратное напряжение и неповторяющееся импульсное напряжение в закрытом состоянии | В | 4700÷5300 | $T_{j\ min} < T_j < T_{j\ max};$ 180 эл. град. синус; 50 Гц; единичный импульс; управление разомкнуто |
| U_D, U_R | Постоянное обратное и постоянное прямое напряжение | В | $0.75 \cdot U_{DRM}$ $0.75 \cdot U_{RRM}$ | $T_j = T_{j\ max};$ управление разомкнуто |
| Параметры управления | | | | |
| I_{FGM} | Максимальный прямой ток управления | А | 12 | $T_j = T_{j\ max}$ |
| U_{RGM} | Максимальное обратное напряжение управления | В | 5 | |
| P_G | Максимальная рассеиваемая мощность по управлению | Вт | 5 | $T_j = T_{j\ max}$ для постоянного тока управления |
| Параметры переключения | | | | |
| $(di_T/dt)_{crit}$ | Критическая скорость нарастания тока в открытом состоянии ($f=1$ Hz) | А/мкс | 1000 | $T_j = T_{j\ max}; U_D = 0.67 \cdot U_{DRM}; I_{TM} = 2 I_{TAV};$ Импульс управления: $I_G = 2$ А; $t_{GP} = 50$ мкс; $di_G/dt \geq 1$ А/мкс |
| Тепловые параметры | | | | |
| T_{stg} | Температура хранения | °С | -60÷125 | |
| T_j | Температура р-п перехода | °С | -60÷125 | |
| Механические параметры | | | | |
| F | Монтажное усилие | кН | 70.0 ÷ 90.0 | |
| a | Ускорение | м/с ² | 50 100 | В не зажатом состоянии В зажатом состоянии |

ХАРАКТЕРИСТИКИ

| Обозначение и наименование характеристики | Ед. изм. | Значение | Условия измерения | |
|--|---|----------|-------------------|---|
| Характеристики в проводящем состоянии | | | | |
| U_{TM} | Импульсное напряжение в открытом состоянии, макс | В | 2.10 | $T_j = 25$ °С; $I_{TM} = 6300$ А |
| $U_{T(TO)}$ | Пороговое напряжение, макс | В | 1.00 | $T_j = T_{j\ max};$ $0.5 \pi I_{TAV} < I_T < 1.5 \pi I_{TAV}$ |
| r_T | Динамическое сопротивление в открытом состоянии, макс | МОм | 0.190 | |
| I_L | Ток включения, макс | мА | 1500 | $T_j = 25$ °С; $U_D = 12$ В; Импульс управления: $I_G = 2$ А; $t_{GP} = 50$ мкс; $di_G/dt \geq 1$ А/мкс |
| I_H | Ток удержания, макс | мА | 300 | $T_j = 25$ °С; $U_D = 12$ В; управление разомкнуто |
| Блокирующие характеристики | | | | |
| I_{DRM}, I_{RRM} | Повторяющийся импульсный обратный ток и повторяющийся импульсный ток в закрытом состоянии, макс | мА | 300 | $T_j = T_{j\ max};$ $U_D = U_{DRM}; U_R = U_{RRM}$ |
| $(dv_D/dt)_{crit}$ | Критическая скорость нарастания напряжения в закрытом состоянии, мин | В/мкс | 1000 | $T_j = T_{j\ max};$ $U_D = 0.67 \cdot U_{DRM};$ управление разомкнуто |

| Характеристики управления | | | | | |
|---------------------------|--|----|----------------------|---|---|
| U_{GT} | Отпирающее постоянное напряжение управления, макс | В | 5.00 3.00 2.00 | $T_j = T_{j \min}$ $T_j = 25 \text{ }^\circ\text{C}$ $T_j = T_{j \max}$ | $U_D = 12 \text{ В}; I_D = 3 \text{ А};$ Постоянный ток управления |
| I_{GT} | Отпирающий постоянный ток управления, макс | мА | 500 300 200 | $T_j = T_{j \min}$ $T_j = 25 \text{ }^\circ\text{C}$ $T_j = T_{j \max}$ | |
| U_{GD} | Неотпирающее постоянное напряжение управления, мин | В | 0.35 | $T_j = T_{j \max};$ $U_D = 0.67 \cdot U_{DRM};$ | Постоянный ток управления |
| I_{GD} | Неотпирающий постоянный ток управления, мин | мА | 15.00 | Постоянный ток управления | |

Динамические характеристики

| | | | | |
|-----------|--------------------------------------|------|-------|---|
| t_{gd} | Время задержки включения | мкс | 4.00 | $T_j = 25 \text{ }^\circ\text{C}; V_D = 0.4 \cdot U_{DRM}; I_{TM} = 2000 \text{ А};$ Импульс управления: $I_G = 2 \text{ А};$ $t_{GP} = 50 \text{ мкс}; di_G/dt \geq 1 \text{ А/мкс}$ |
| t_q | Время выключения, макс | мкс | 800 | $dv_D/dt = 50 \text{ В/мкс}; T_j = T_{j \max}; I_{TM} = 2000 \text{ А};$ $di_R/dt = -10 \text{ А/мкс}; V_R = 100 \text{ В};$ $V_D = 0.67 V_{DRM}$ |
| Q_{rr} | Заряд обратного восстановления, макс | мкКл | 10000 | $T_j = T_{j \max}; I_{TM} = 2000 \text{ А};$ $di_R/dt = -5 \text{ А/}\mu\text{s};$ $V_R = 100 \text{ В}$ |
| t_{rr} | Время обратного восстановления, макс | мкс | 95 | |
| I_{rrM} | Ток обратного восстановления, макс | А | 210 | |

Тепловые характеристики

| | | | | | |
|--------------|---|---------------------|--------|----------------|------------------------------|
| R_{thjc} | Тепловое сопротивление р-п переход-корпус, макс | $^\circ\text{C/Вт}$ | 0.0057 | Постоянный ток | Двухстороннее охлаждение |
| R_{thjc-A} | | | 0.0125 | | Охлаждение со стороны анода |
| R_{thjc-K} | | | 0.0103 | | Охлаждение со стороны катода |
| R_{thck} | Тепловое сопротивление корпус-охладитель, макс | $^\circ\text{C/Вт}$ | 0.0010 | Постоянный ток | |

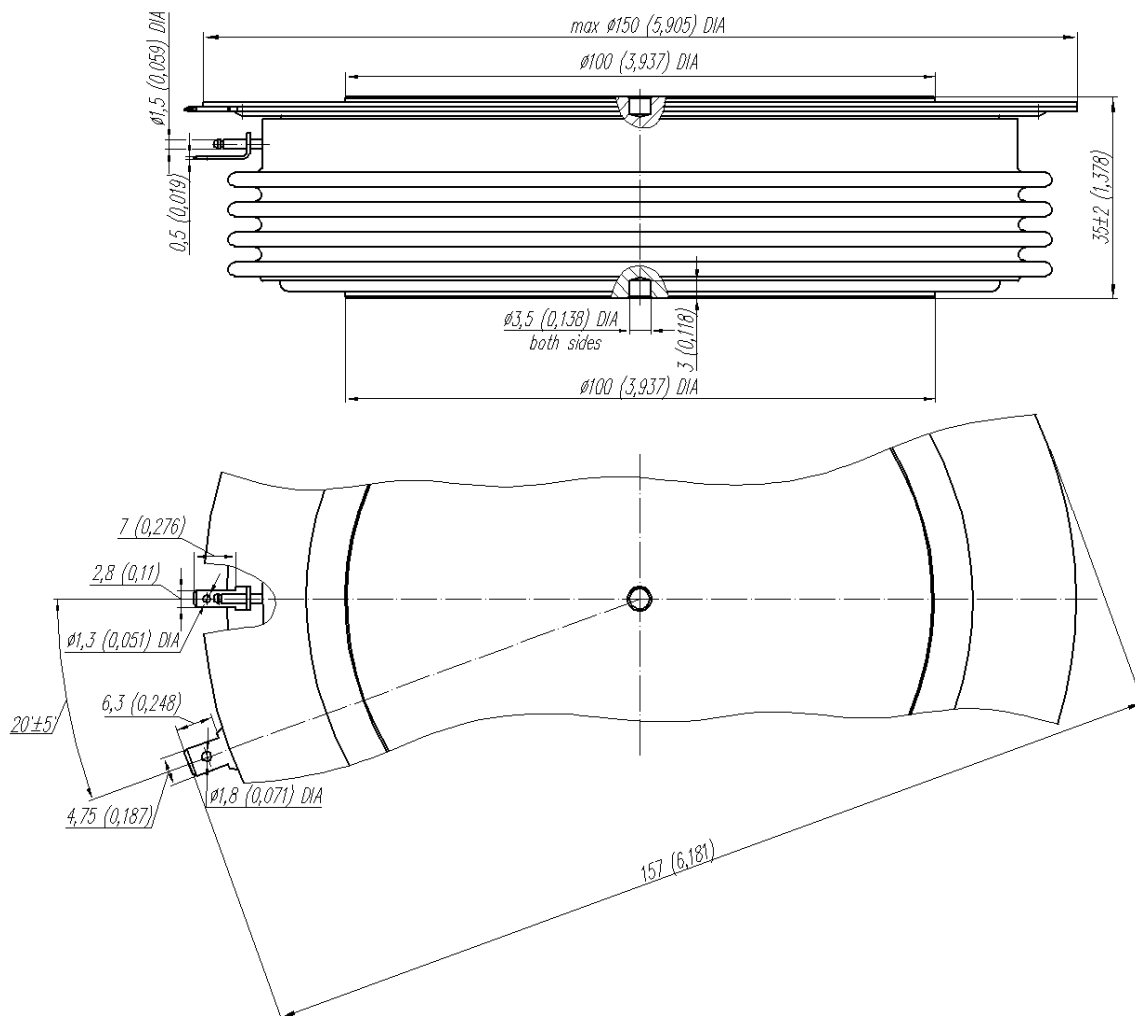
Механические характеристики

| | | | | |
|-------|---------------------------------------|--------------|------------------|--|
| w | Масса, тип | г | 2700 | |
| D_s | Длина пути тока утечки по поверхности | мм (дюйм) | 62.09 (2.444) | |
| D_a | Длина пути тока утечки по воздуху | мм (дюйм) | 23.40 (0.921) | |

МАРКИРОВКА

| T | 393 | 2500 | 52 | УХЛ2 |
|---|-----|------|----|------|
| 1 | 2 | 3 | 4 | 5 |

1. Низкочастотный тиристор
2. Конструктивное исполнение
3. Средний ток в открытом состоянии, А
4. Класс по напряжению
5. Климатическое исполнение по ГОСТ 15150: УХЛ2, Т



Все размеры в миллиметрах (дюймах)

Содержащаяся здесь информация является конфиденциальной и находится под защитой авторских прав. В интересах улучшения качества продукции, ЗАО «Протон-Электротекс» оставляет за собой право изменять информационные листы без уведомления.

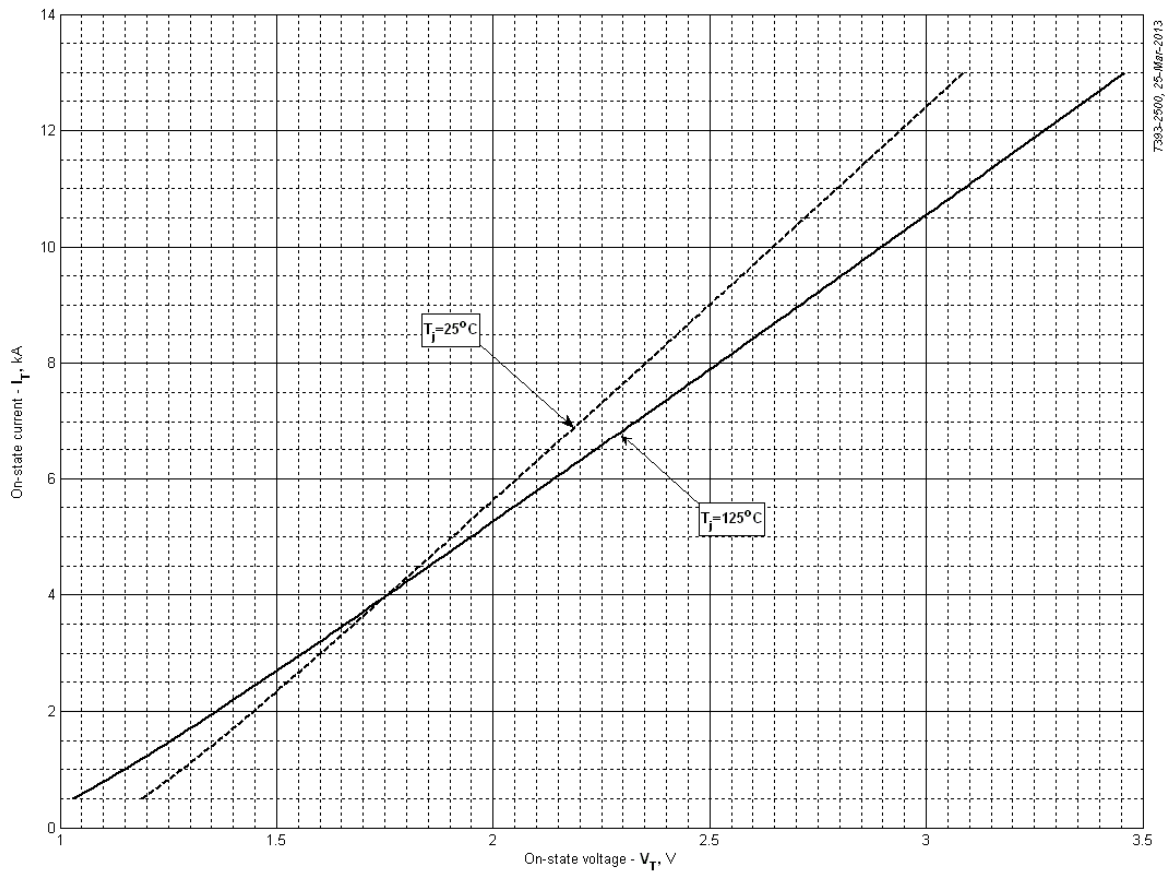


Fig 1 – On-state characteristics of Limit device

Analytical function for On-state characteristic:

$$V_T = A + B \cdot i_T + C \cdot \ln(i_T + 1) + D \cdot \sqrt{i_T}$$

| | Coefficients for max curves | |
|----------|-----------------------------|-------------------|
| | $T_j = 25^\circ\text{C}$ | $T_j = T_{j,max}$ |
| A | 1.131336 | 0.956898 |
| B | 0.148813 | 0.190428 |
| C | 0.119148 | 0.159131 |
| D | -0.081896 | -0.109378 |

On-state characteristic model (see Fig. 1)

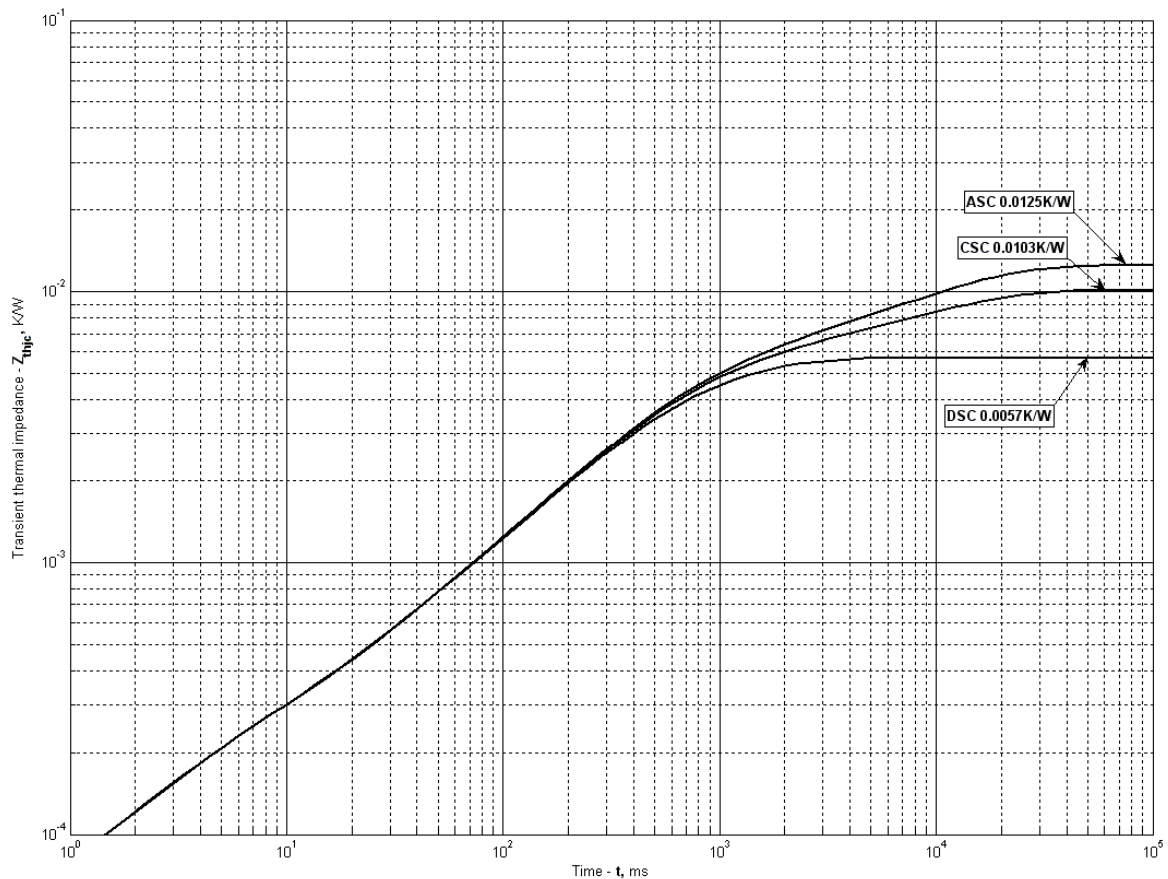


Fig 2 – Transient thermal impedance

Analytical function for Transient thermal impedance junction to case Z_{thjc} for DC:

$$Z_{thjc} = \sum_{i=1}^n R_i \left(1 - e^{-\frac{t}{\tau_i}} \right)$$

Where $i = 1$ to n , n is the number of terms in the series.

t = Duration of heating pulse in seconds.

Z_{thjc} = Thermal resistance at time t .

R_i = Amplitude of p_{th} term.

τ_i = Time constant of r_{th} term.

DC Double side cooled

| i | 1 | 2 | 3 | 4 | 5 | 6 |
|---------------|----------|-----------|----------|-----------|-----------|----------|
| R_i K/W | 0.002457 | -0.003548 | 0.002909 | 0.0002069 | 3.51e-005 | 0.00364 |
| τ_{ir} s | 1.062 | 0.005022 | 0.3787 | 0.0257 | 0.0003732 | 0.004916 |

DC Cathode side cooled

| i | 1 | 2 | 3 | 4 | 5 | 6 |
|---------------|----------|----------|----------|-----------|-----------|------------|
| R_i K/W | 0.004458 | 0.002601 | 0.002763 | 0.0001806 | 0.0001224 | 3.094e-005 |
| τ_{ir} s | 1.06 | 1.100 | 0.3794 | 0.0291 | 0.003057 | 0.0003374 |

DC Anode side cooled

| i | 1 | 2 | 3 | 4 | 5 | 6 |
|---------------|----------|----------|----------|-----------|----------|------------|
| R_i K/W | 0.006812 | 0.002637 | 0.002729 | 0.0001806 | 0.000122 | 3.069e-005 |
| τ_{ir} s | 1.06 | 1.131 | 0.3835 | 0.02886 | 0.003033 | 0.0003349 |

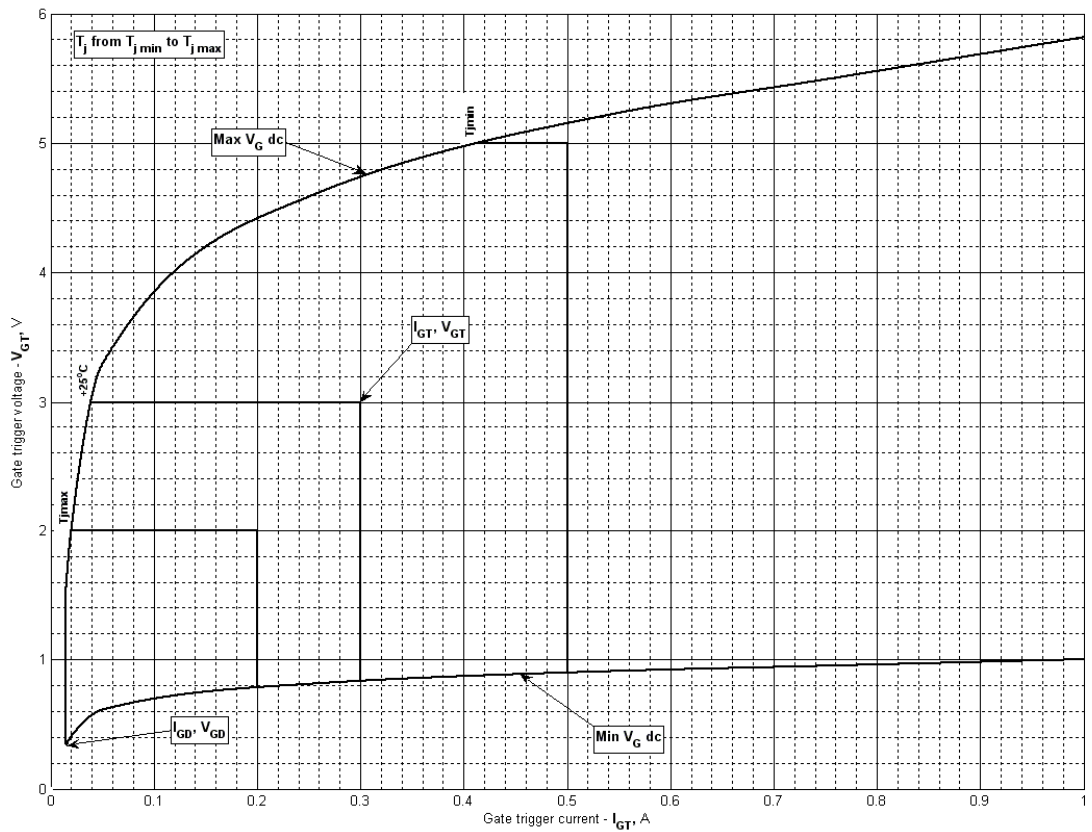


Fig 3 – Gate characteristics – Trigger limits

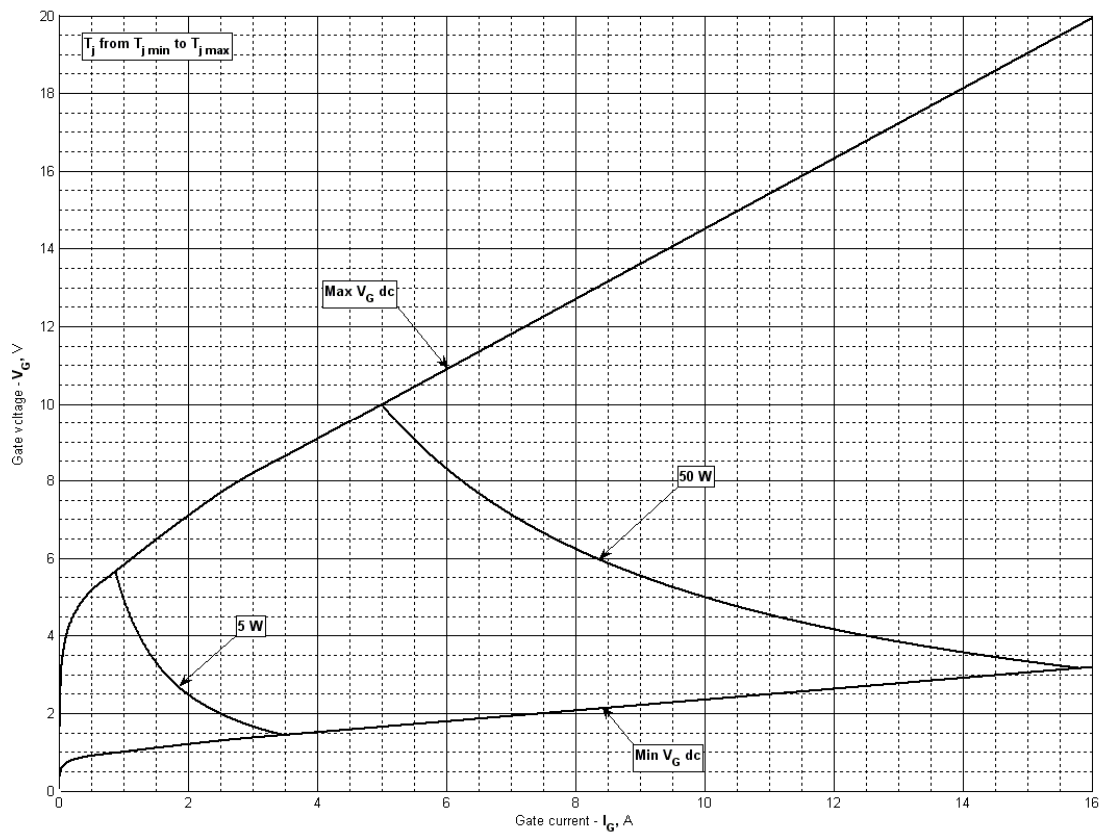


Fig 4 - Gate characteristics –Power curves

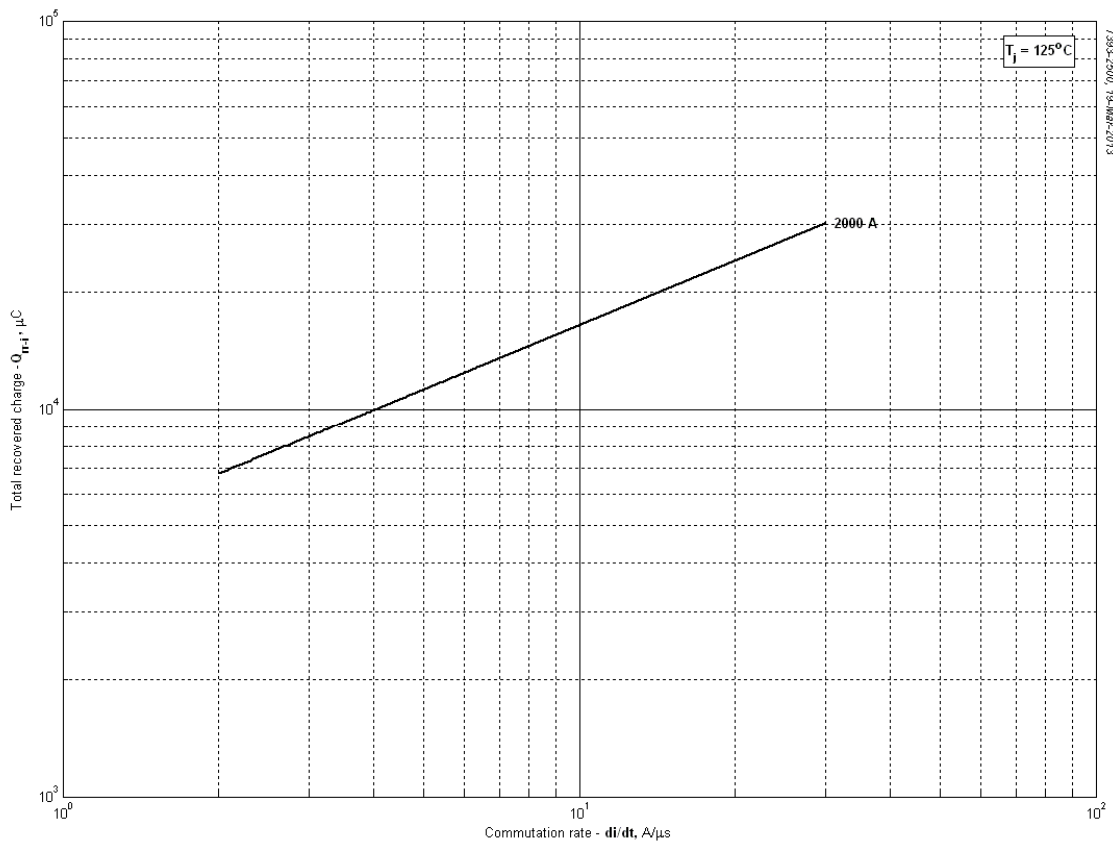


Fig 5 – Total recovered charge, Q_{rr-i} (integral)

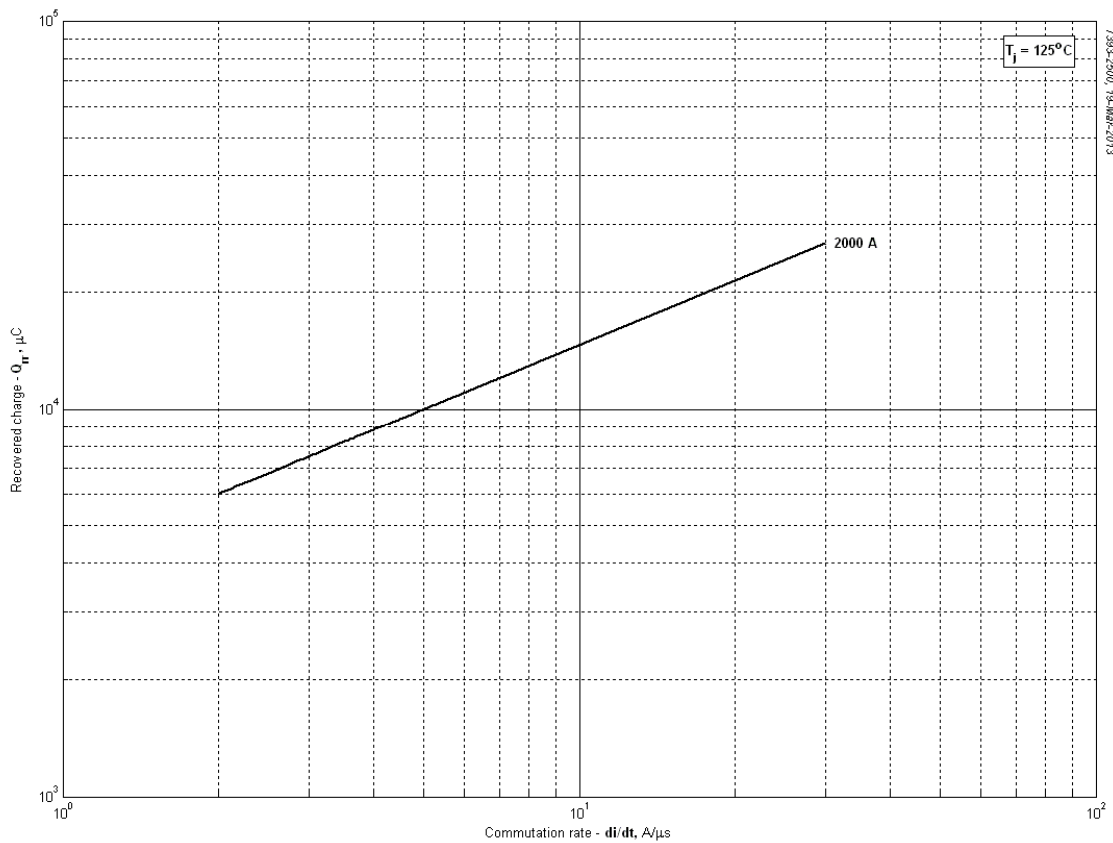


Fig 6 - Recovered charge, Q_{rr} (linear)

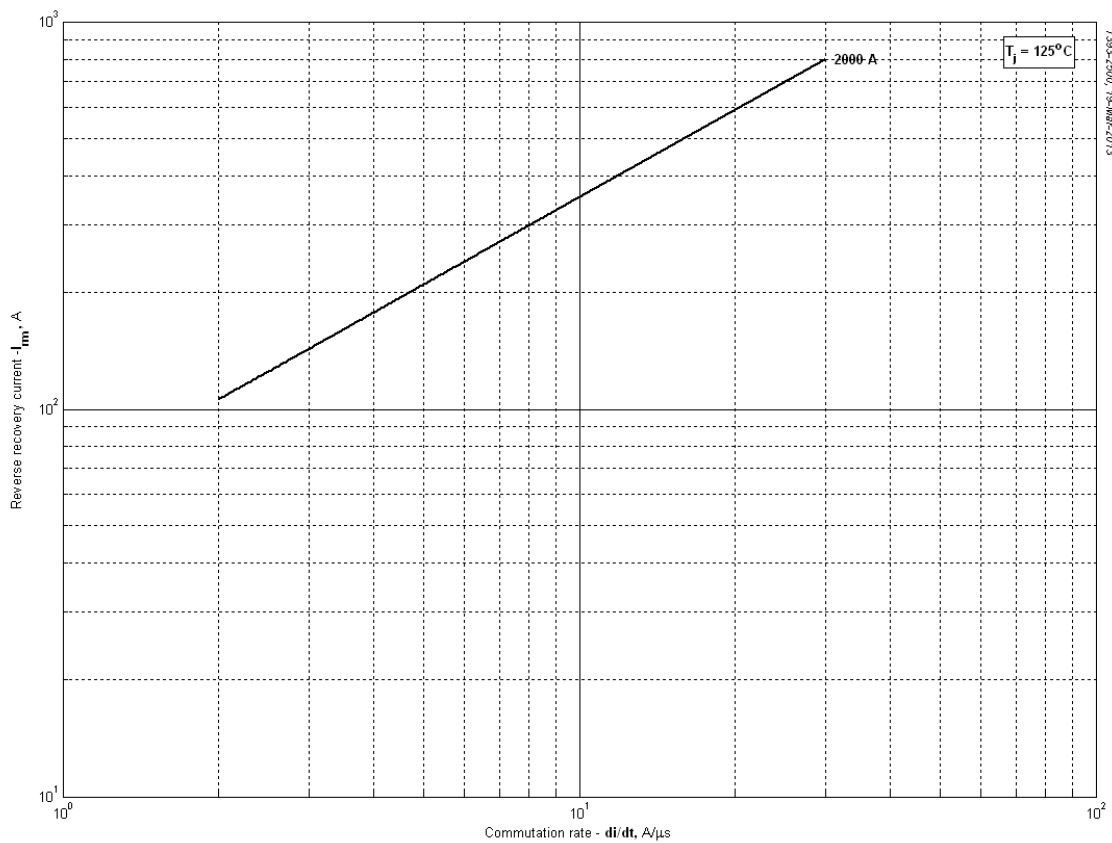


Fig 7 – Peak reverse recovery current, I_{rm}

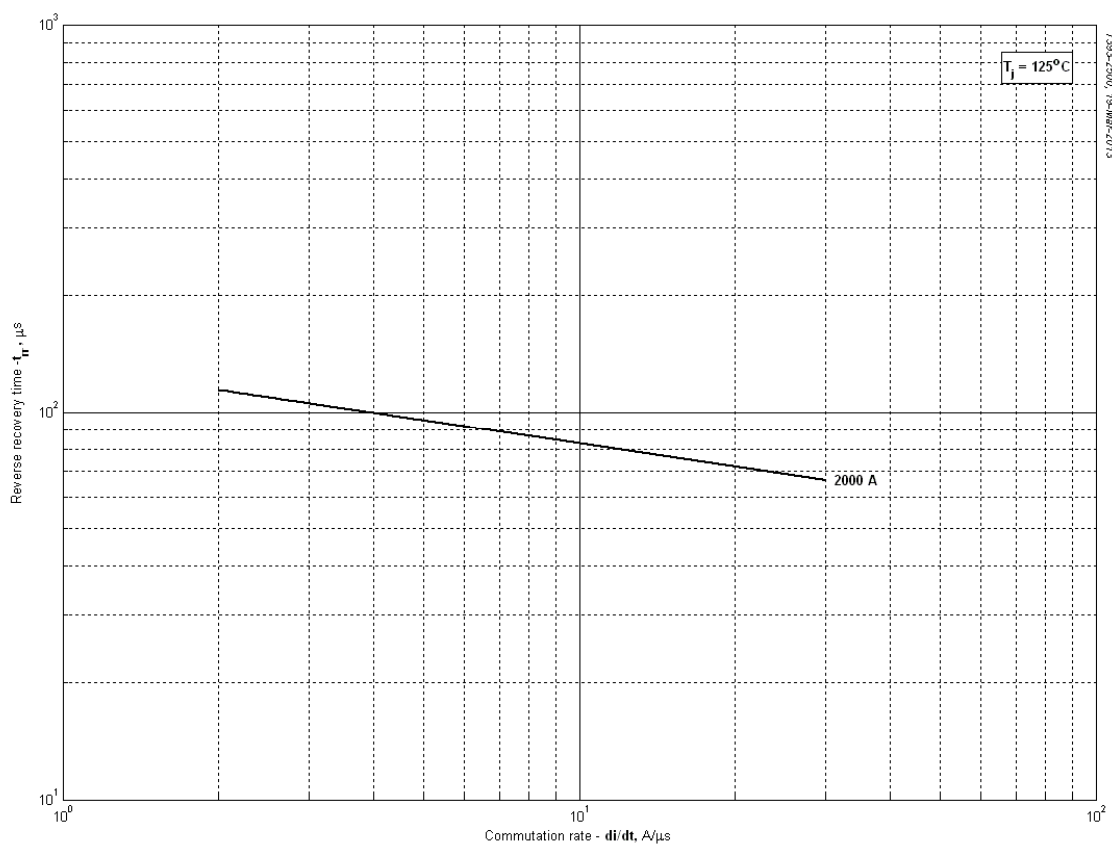


Fig 8 – Maximum recovery time, t_{rr} (linear)

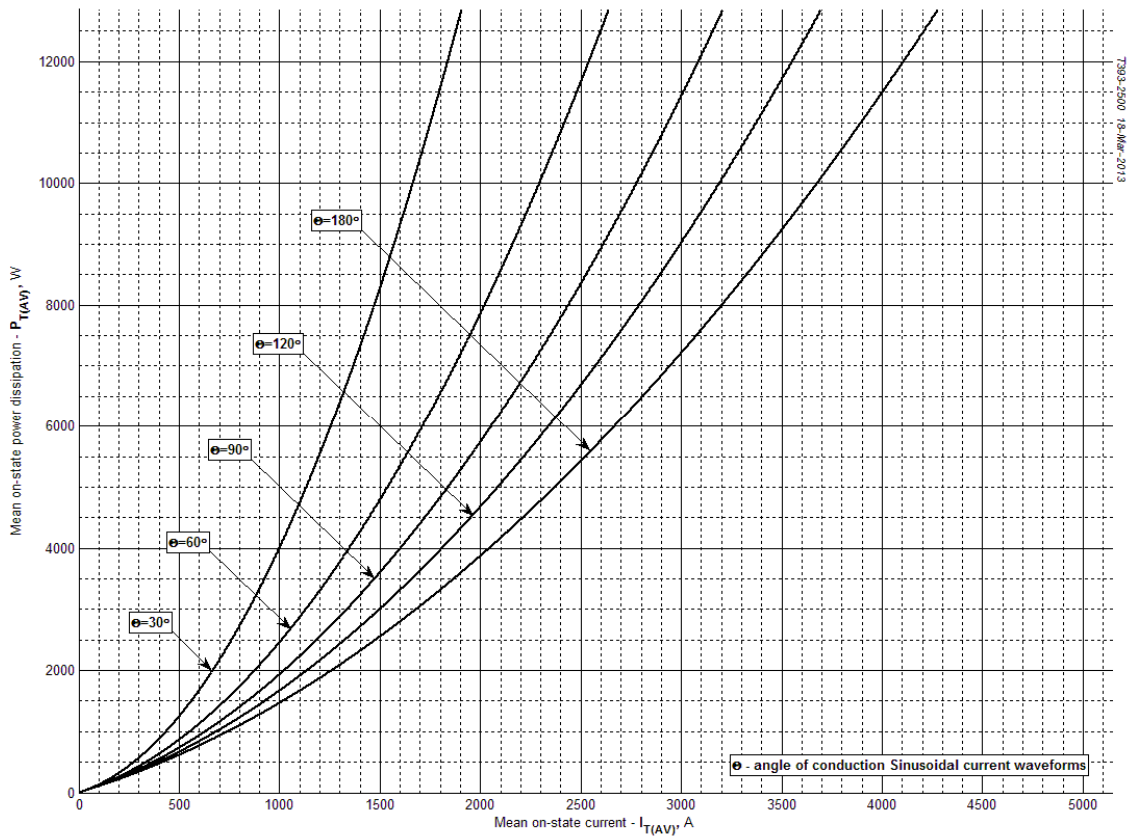


Fig 9 – On-state power loss (sinusoidal current waveforms)

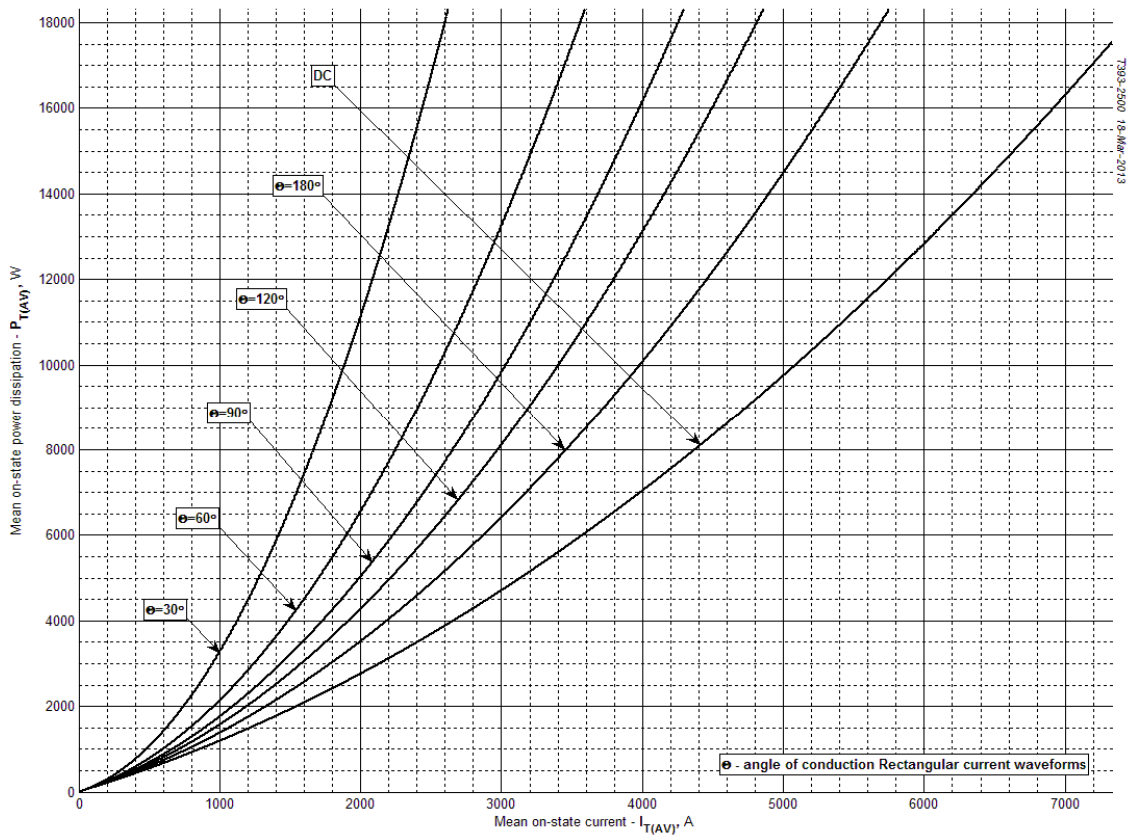


Fig 10 – On-state power loss (rectangular current waveforms)

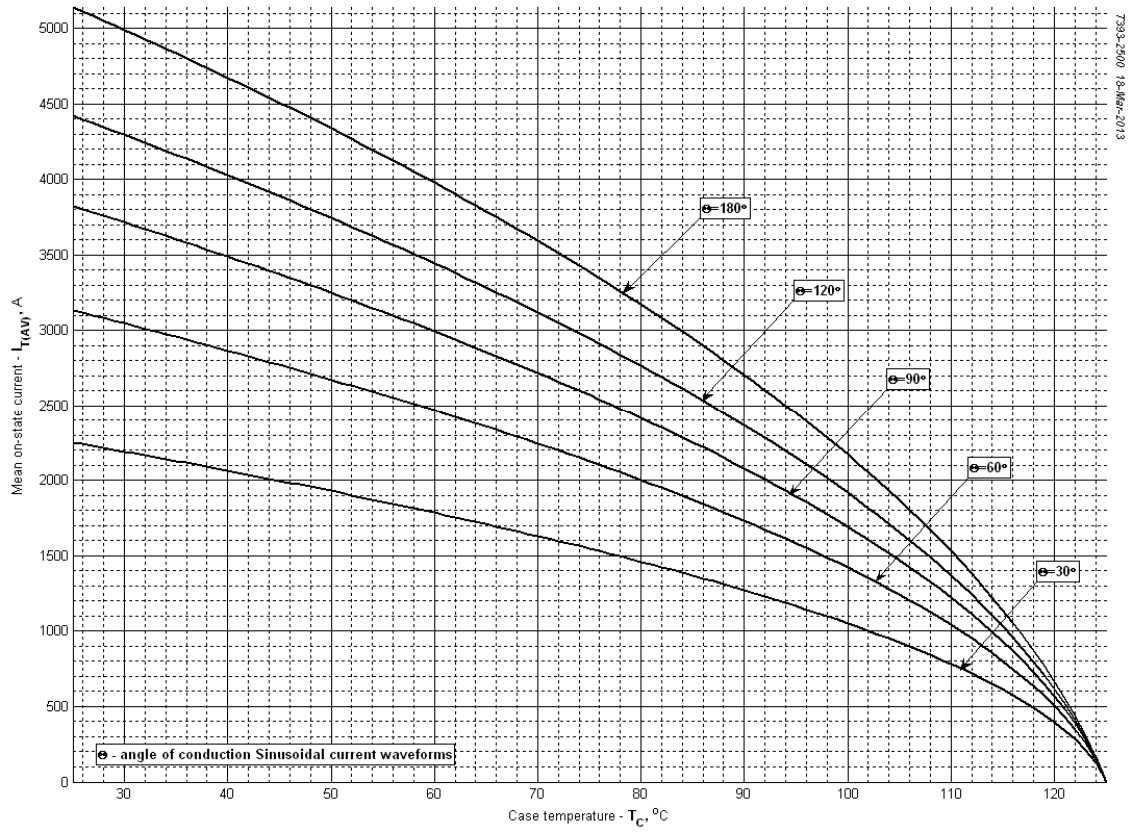


Fig 11 – Maximum case temperature DSC (sinusoidal current waveforms)

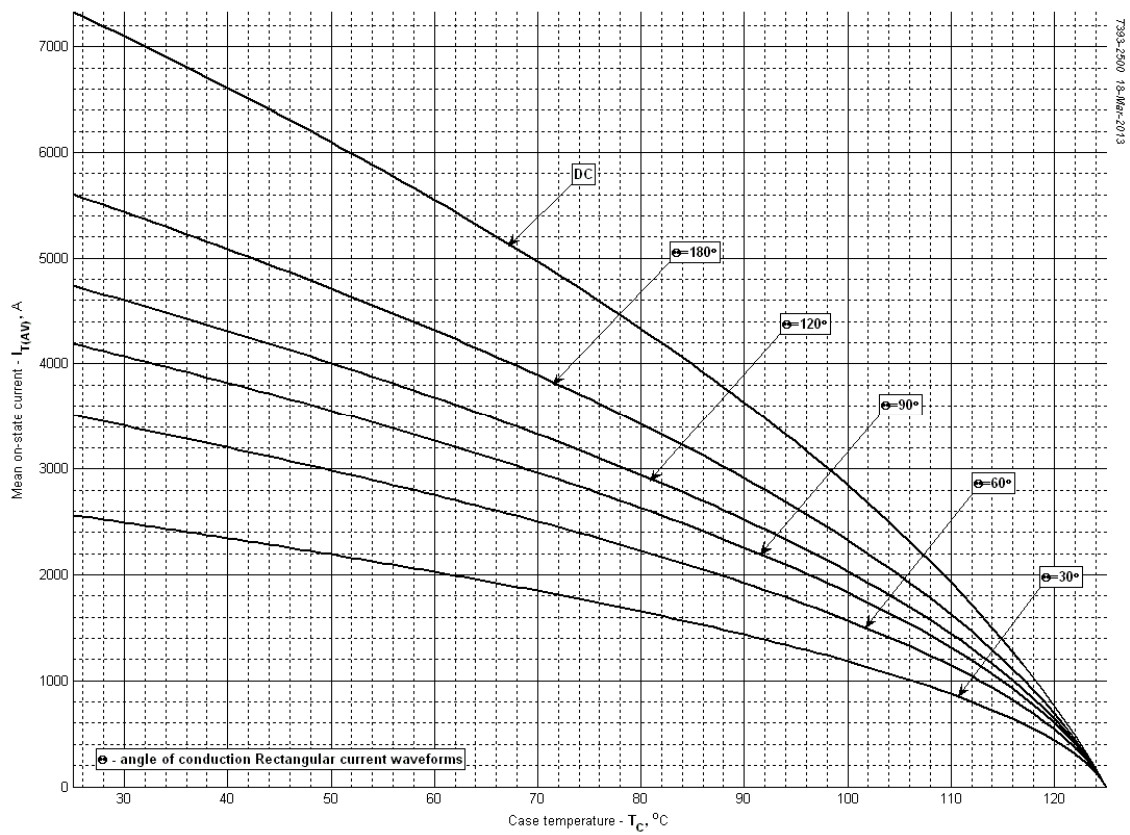


Fig 12 – Maximum case temperature DSC (rectangular current waveforms)

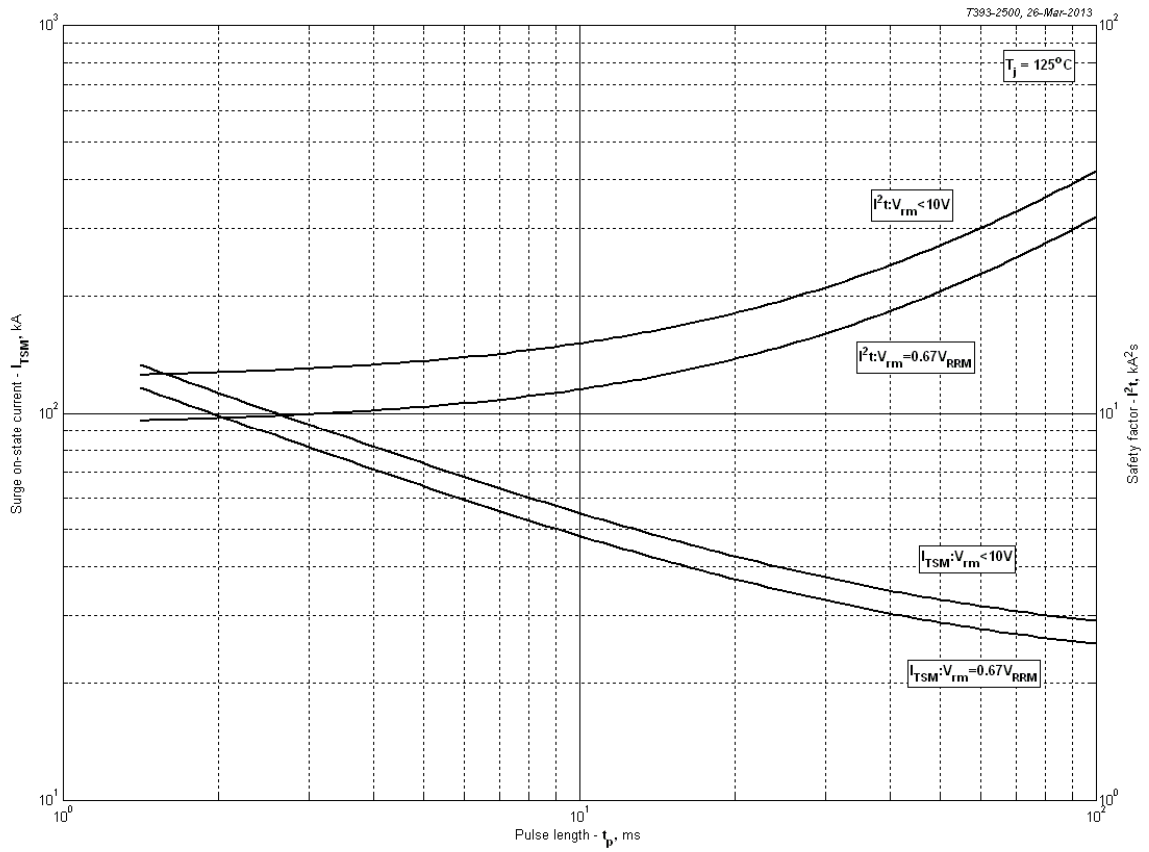


Fig 13 – Maximum surge and I^2t ratings

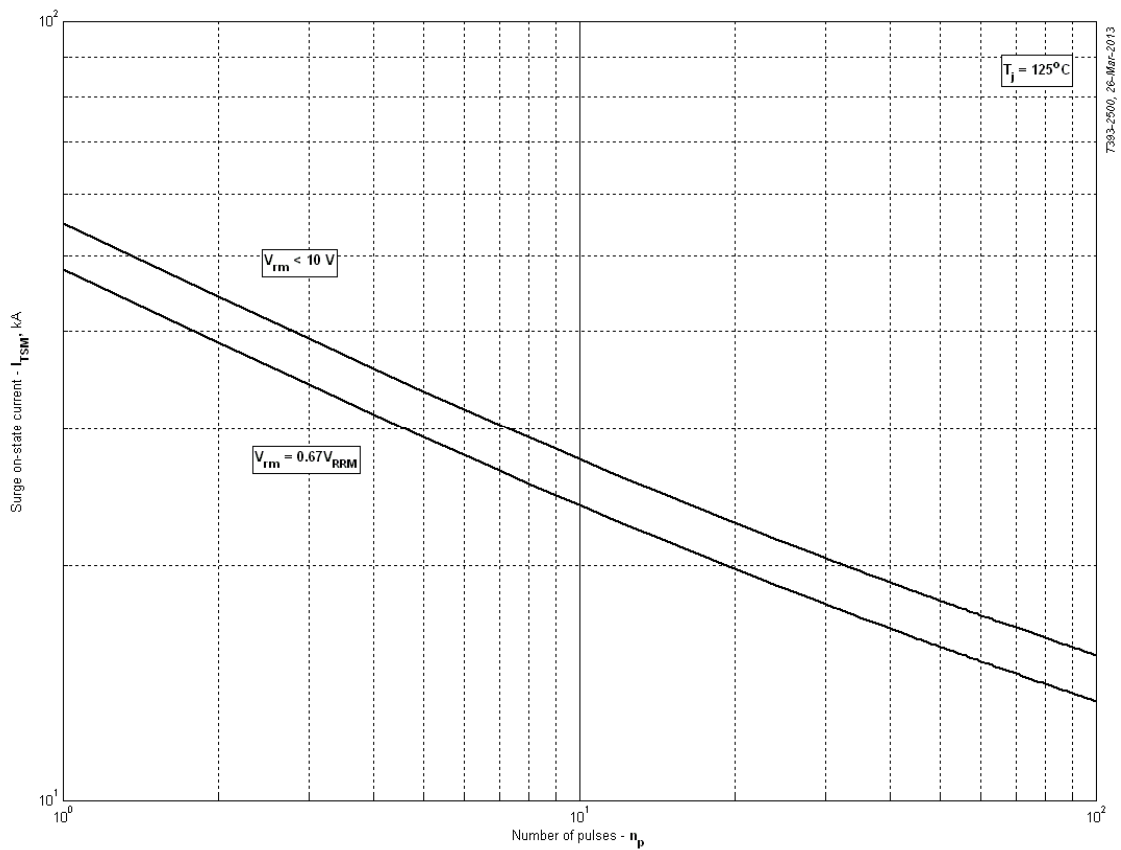


Fig 14 – Maximum surge ratings